

Edicija: Mehanika fluida i Hidraulične mašine

Svetislav M. Čantrak

HIDRODINAMIKA

V dopunjeno izdanje



Mašinski fakultet
Univerziteta u Beogradu
2012.

Mašinski fakultet Univerziteta u Beogradu

Edicija:

Mehanika fluida i hidraulične mašine

- **Hidrodinamika.** V dopunjeno izdanje, 2012. - ova knjiga Čantrak S.
- **Mehanika fluida - Teorija i praksa.** VII izdanje, 2001. Čantrak S., Marjanović P., Benišek M., Pavlović M.⁺, Crnojević C.
- **Klasična i uljna hidraulika.** III izdanje, 2006. Crnojević C.
- **Dinamika jednodimenzionalnih strujanja fluida.** IV izdanje, 2005. Đorđević V.
- **Pumpe i ventilatori - problemi, rešenja, teorija.** V izdanje, 2006. Protić Z.⁺, Nedeljković M. Oktobarska nagrada grada Beograda za najvrednije dostignuće u oblasti tehničkih nauka za 1992. godinu
- **Tehnika merenja.** III izdanje, 2006. Benišek M., Nedeljković M., Kilibarda R., Gerasimović D.
- **Hidraulične turbine.** I izdanje, 1998. Benišek M.
- **Statika i kinematika fluida.** II izdanje, 1998. Saljnikov V.
- **Priručnik za proračun strujanja stišljivog fluida.** VII izdanje, 2005. Pavlović D. M.⁺, Stefanović Z.

Urednici edicije:

- Prof. dr Zoran Protić⁺
- Akademik Vladan Đorđević
- Prof. dr Miroslav Benišek
- Prof. dr Svetislav Čantrak



Ključne reči: Strujanje viskoznog fluida, unutrašnja laminarna i turbulentna strujanja, razvitak strujanja, laminarni i turbulentni granični sloj, otpor kretanju tela u fluidu, dvodimenzionalna strujanja neviskoznog fluida.

Svetislav M. Čantrak

HIDRODINAMIKA

V dopunjeno izdanje



Mašinski fakultet
Univerzitet u Beogradu

Beograd
2012.

Autor:

Dr Svetislav Čantrak, dipl. inž. maš.,
redovni profesor Mašinskog fakulteta Univerziteta u Beogradu

HIDRODINAMIKA

Peto dopunjeno izdanje

Recenzenti:

Akademik Vladan D. Đorđević,
redovni profesor Mašinskog fakulteta Univerziteta u Beogradu
Dr Miroslav Benišek, dipl. inž. maš.,
redovni profesor Mašinskog fakulteta Univerziteta u Beogradu

Izdavač:

Mašinski fakultet Univerziteta u Beogradu
11120 Beograd 35, Kraljice Marije 16,
telefon: 011 3370 350 i 3302 384, telefax: 011 3370 364

Za izdavača: Dekan prof. dr Milorad Milovančević

Glavni i odgovorni urednik: Prof. dr Aleksandar Obradović

Odobreno za štampu odlukom Dekana Mašinskog fakulteta u Beogradu
br. 215/12 od 10.10.2012. godine.

Štampa:

PLANETA PRINT

11000 Beograd, Ruzveltova 10, tel.: 011 3088 129

Tiraž: 300 primeraka

© Autor i Mašinski fakultet Univerziteta u Beogradu. Zabranjeno
preštampavanje i umnožavanje. Sva prava zadržavaju izdavač i autor.

1. UMESTO PREDGOVORA

Ovaj udžbenik, s obzirom da obuhvata izabrana poglavlja, počinje neuobičajenom numeracijom – Poglavljem 2.9 !

Dva valjana razloga postoje za to. Prvi je više formalan. Naime, sva poglavlja, koja se u knjizi S. Čantrak, C. Crnojević: „Hidraulika. Teorija, problemi, zadaci“, Gradevinska knjiga, Beograd 1990. god, nalaze ispred ovog poglavlja, pojavice se u prerađenom izdanju od docenta C. Crnojevića. Drugi, bitniji razlog sastoji se u sledećem. Korisnici navedene knjige, kao i sam autor, ukazuju na činjenicu da njena poglavila od 2.9 do 2.17 predstavljaju nastavak materije obuhvaćene sledećim udžbenicima ove edicije:

1. V. Salnikov: „Statika i kinematika fluida“, Mašinski fakultet, Beograd, 1998. god.
2. V. Đorđević: „Dinamika jednodimenzionalnih strujanja fluida“, Mašinski fakultet, Beograd, 1995. god.
3. S. Čantrak, M. Benišek, M. Pavlović, P. Marjanović, C. Crnojević: „Mehanika fluida. Teorija i praksa“, Mašinski fakultet, Beograd, 1998. god.

S tim u vezi, autor ističe da su sa ova tri udžbenika detaljno obuhvaćene sledeće nastavne oblasti:

- a) svojstva fluida i dejstvo sila, statika i kinematika fluida,
- b) dinamika jednodimenzionalnih strujanja stišljivih i nestišljivih fluida,
- c) dvodimenzionalna strujanja neviskoznog fluida sa rešenim problemima iz navedene materije pod a), b) i c).

Ovim oblastima se oblast

- d) laminarnih i turbulentnih unutrašnjih i spoljašnjih strujanja fluida,

koja se razmatra u izabranim odeljcima 2.9 – 2.17, suštinski pridružuje, čineći tako sa njima celinu materije koja se predaje i vežba u okviru različitih predmeta i kurseva Katedre za mehaniku fluida.

Na osnovu svega izложенog, autor se, poštujući i uvažavajući potrebe i mišljenja studenata i kolega, ipak odlučio da se u ovom trenutku udžbenik pojavi baš u ovakovom neizmenjenom obliku. Ovo treba shvatiti i kao predznak neophodnih budućih napora, kako u objedinjavanju i osavremenjavanju nastavne materije i udžbeničke literature, tako i u stvaranju kreativnih nastavnih planova i programa u oblasti Nauke o strujanju.

Beograd, januara 1998. god.

Autor

Saglasno novom nastavnom planu i programu ovaj udžbenik obuhvata deo dinamike fluida koji se predaje u okviru predmeta: Hidromehanika, Mehanika fluida i Hidraulika i pneumatika. S tim u vezi je neizmenjenom sadržaju prvog izdanja knjige „Izabrana poglavila iz hidrodinamike“ pridružen, odlukom Komisije za izdavačku delatnost, skraćeni naslov „Hidrodinamika“.

Beograd, marta 2000. god.

Autor

Prihvaćen je predlog izdavača da se odštampa IV izdanje jer je prethodno brzo rasprodato.
Ovo neće uticati na pisanje preradenog i dopunjeno izdanja koje je u toku.

Beograd, jula 2005. god.

Autor

Uz peto dopunjeno izdanje

Studenti i kolege su, dosadašnjim druženjem sa ovim udžbenikom, suštinski ukazali na aktuelnost obuhvaćene materije. Autor je, sa velikom zahvalnošću, uvažio njihove sugestije za svrshishodno sjedinjavanje nastavnih oblasti iz laminarnog i turbulentnog strujanja sa nastavnom materijom koja obuhvata nevrtnična, tj. potencijalna strujanja fluida. U tom smislu je V izdanje dopunjeno materijom

3. Dvodimenijska strujanja neviskoznog fluida,

koju je autor napisao kao glavu III u koautorskom udžbeniku navedenom pod tačkom 3. uvida „1. Umesto predgovora“. Na ovaj način je, uz uvažavanje postojeće literature, ova knjiga još temeljitije prilagođena kako proučavanju mehanike fluida u okviru različitih predmeta Katedre za mehaniku fluida na svim nivoima studija, tako i drugim nastavnim predmetima i stručno-naučnim oblastima, koje imaju uporište u nauci o strujanju.

Beograd, septembra 2012. god.

Autor

SADRŽAJ

1. UMESTO PREDGOVORA

2. LAMINARNA I TURBULENTNA STRUJANJA

2.9. Zakoni sličnosti i modeliranje hidrauličkopneumatskih pojava	1
2.9.1. Osnovni problem dimenzijske analize. π – teorema	1
2.9.2. Isticanje nestišljivog fluida iz rezervoara	2
2.9.3. Pad pritiska u cilindričnoj cevi kružnog preseka	3
2.9.4. Stacionarni i nestacionarni strujni procesi	4
2.9.5. Hagen-Puazejev obrazac	6
2.9.6. Strujanje u hidraulički gratkim cevima	6
2.9.7. Strujanje stišljivog fluida – Mahov broj	6
2.9.8. Otpor oscilatornom kretanju tela	8
2.9.9. Sila otpora oscilatornom kretanju u viskoznom stišljivom fluidu	8
2.9.10. Karakteristične dimenzije najvećih kapi tečnosti u slobodnom mlazu	8
2.9.11. Brzina padanja malih kapljica tečnosti u vazduhu	9
2.9.12. Brzina podizanja veoma malih mehurova gasa u tečnosti	10
2.9.13. Darsijeva formula	10
2.9.14. Obrtanje diska u cilindričnoj komori	11
2.9.15. Modeliranje hidrauličkih pojava pomoću delimične sličnosti	11
2.9.16. Delimična sličnost pri jednakosti Rejnoldsovih brojeva	13
2.9.17. Učestanost obrtanja modela brodske elise	14
2.9.18. Zavisnost između Frudovih brojeva za objekat i model	14
2.9.19. Odnos energetskih karakteristika pri delimičnoj hidrodinamičkoj sličnosti	14
2.9.20. Model vazdušne turbine – sličnost u odnosu na Mahov i Rejnoldsov broj ..	15
2.9.21. Aksijalni kompresor – strujne karakteristike objekta i modela	15
2.10. Metode elektrohirauličkih, elektropneumatskomehaničkih i hidrauličkopneumatskih analogija	17
2.10.1. Analogija hidrauličkih kola i električnih kola jednosmerne struje	17
2.10.2. Hidraulički potenciometar	23
2.10.3. Hidraulički „omski“ otpor, hidraulička induktivnost i kapacitivnost	25
2.10.4. Elektrohidraulička analogija u slučaju hidrauličkog udara	27
2.10.5. Modeliranje ravanskog potencijalnog strujanja nestišljivog fluida analognim električnim poljem	28
2.10.6. Elektrohidrodinamička analogija u teoriji filtracije	31
2.10.7. Modeliranje pneumatičkih sistema primenom teorije dinamičkih analogija ..	32
2.10.8. Formiranje ekvivalentnih shema saglasno prvom sistemu dinamičkih analogija	34
2.10.9. Prvi sistem pneumoelektrične analogije – akustični niskofrekventni filter ..	37
2.10.10. Ekvivalentna električna šema za mehanički sistem	37

2.10.11. Hidraulička analogija dvodimenzijskog stacionarnog strujanja gasa	38
2.10.12. Hidrauličkopneumatička analogija za jednodimenzionalna nestacionarna strujanja	40
2.11. Primena teorije polja pri proučavanju strujanja i fizičke osnove kinematike fluida	44
2.11.1. Osnovni izrazi u krivolinijskim ortogonalnim koordinatama	44
2.11.2. Osnovna svojstva skalarnih i vektorskih polja u hidromehanici	47
2.11.3. Diferencijalne relacije za izvođenje osnovnih jednačina i teorema u mehanici fluida	49
2.11.4. Uslov koji masene sile moraju da zadovolje pri mirovanju fluida	54
2.11.5. Potencijalno polje	55
2.11.6. Divergencija vektorskog proizvoda, nestišljiv fluid i strujna funkcija	55
2.11.7. Jednodimenzionalno stacionarno strujanje – izvod vektorske funkcije po skalarnoj promenljivoj – izvod vektora konstantnog intenziteta	55
2.11.8. Uopštena integralna formula za transformaciju površinskog u zapreminski integral	56
2.11.9. Fluks i divergencija brzinskog polja – formula Gausa-Ostrogradskog	57
2.11.10. Prva i druga Grinova formula	58
2.11.11. Relacije koje proizilaze iz Grinovih formula – slučaj harmonijske funkcije	59
2.11.12. Uopšteni Stoksov obrazac i njegovo fizičko značenje	59
2.11.13. Primeri primene formula vektorske analize	60
2.11.14. Materijalni izvod i njegovo fizičko tumačenje. Lagranževa metoda	62
2.11.15. Fizička i grafička interpretacija ukupne promene brzine fluidnog delića	65
2.11.16. Oblik teoreme prenosa pogodan za razmatranje zakona održanja materije, količine kretanja i energije	66
2.12. Komponente tenzora napona i diferencijalne jednačine strujanja viskoznog fluida u ortogonalnim krivolinijskim koordinatama	68
2.12.1. Uopštena Njutnova hipoteza o naponima	68
2.12.2. Izrazi za normalne i tangencijalne napone u Dekartovim koordinatama	69
2.12.3. Komponente tenzora napona u cilindričnim koordinatama	70
2.12.4. Normalni i tangencijalni naponi u cilindričnim koordinatama	70
2.12.5. Zakon održanja materije – jednačina kontinuiteta	70
2.12.6. Jednačina kontinuiteta u Dekartovim, cilindričnim i sfernim koordinatama	71
2.12.7. Jednačina količine kretanja. Navije-Stoksove jednačine	71
2.12.8. Jednačina kretanja neprekidne sredine u krivolinijskim ortogonalnim koordinatama predstavljena pomoću napona	75
2.12.9. Promena baznih vektori krivolinijskog ortogonalnog sistema	76
2.12.10. Izvodi jediničnih vektori po cilindričnim i sferskim koordinatama	77
2.12.11. Diferencijalne jednačine količine kretanja u krivolinijskim ortogonalnim koordinatama	77
2.12.12. Jednačine kretanja izražene posredstvom napona u cilindričnim koordinatama	78

2.12.13.	Diferencijalne jednačine kretanja neprekidne sredine u sfernim koordinatama	79
2.12.14.	Navije-Stoksove jednačine u cilindričnim koordinatama	80
2.12.15.	Navije-Stoksove jednačine u sfernim koordinatama	81
2.12.16.	Navije-Stoksove jednačine – diferencijalni operatori u generalisanim koordinatama	82
2.13.	Raspodele brzina i napona u unutrašnjim potpuno razvijenim laminarnim i turbulentnim strujanjima nestišljivog fluida	83
2.13.1.	Jednačina vrtloga	83
2.13.2.	Laminarno strujanje između dve paralelne ploče	83
2.13.3.	Primer. Raspodele brzine i tangencijalnog napona	86
2.13.4.	Strujanje između nagnutih paralelnih ploča i generalisani pritisak	86
2.13.5.	Laminarno strujanje u cevi prstenastog poprečnog preseka	88
2.13.6.	Raspodele brzine i napona pri laminarnom strujanju kroz prave kružne cevi	89
2.13.7.	Primer. Proračun strujnih veličina pri laminarnom strujanju u nagnutoj cilindričnoj cevi	90
2.13.8.	Laminarno strujanje između dva saosna cilindra pokretna u aksijalnom pravcu	91
2.13.9.	Raspodele brzine i napona pri strujanju između dva obrtna koaksijalna kružna cilindra	92
2.13.10.	Turbulentno strujanje, Rejnoldsove jednačine i fizički smisao korelacija brzina. Strujanje između paralelnih ploča	94
2.13.11.	Modeliranje turbulentnih napona. Prantlova teorija o putanji mešanja	100
2.13.12.	Turbulentno strujanje u hidraulički glatkim cevima. Stepeni zakon raspodele brzine i zavisnost koeficijenta trenja od Rejnoldsovog broja (Blazijusov zakon trenja)	103
2.13.13.	Univerzalni zakon raspodele brzine u hidraulički glatkim cevima. Zakon zida. Viskozni podsloj, prelazna i logaritamska oblast	108
2.13.14.	Univerzalni zakon trenja pri turbulentnom strujanju u hidraulički glatkim cevima	111
2.13.15.	Rejnoldsove jednačine i turbulentni naponi u cilindričnim koordinatama	113
2.13.16.	Potpuno razvijeno turbulentno strujanje u cevi	114
2.13.17.	Raspodele Prantlove putanje mešanja i turbulentne kinematičke viskoznosti u cevi	116
2.13.18.	Turbulentno strujanje u hidraulički potpuno hrapavoj cevi kružnog preseka	118
2.13.19.	Zakon trenja u hidraulički potpuno hrapavim cevima	120
2.13.20.	Primer. Laminarno i turbulentno strujanje. Raspodela putanje mešanja	121
2.13.21.	Strujanje sloja tečnosti niz nagnutu ravnu površ. Funkcija disipacije	121
2.13.22.	Jednostavna peristaltička pumpa – strujanje kroz prstenastu elastičnu cev promenljivog preseka	122
2.13.23.	Potpuno razvijeno stacionarno laminarno strujanje između dve vertikalne međusobno paralelne pokretnе ploče	122

2.13.24. Relativno strujanje fluida pri rotaciji sistema konstantnom ugaonom brzinom oko vertikalne ose – zapreminski protok i raspodela pritiska	123
2.13.25. Razvijeno laminarno strujanje – isticanje tečnosti iz cevi u jednu komoru – polje pritiska i gubitak mehaničke energije	124
2.14. Problemi potpuno razvijenih laminarnih i turbulentnih strujanja viskozne nestišljive tečnosti u cevima raznih poprečnih preseka (pravougaonih, prstenastih, trougaonih, eliptičnih i drugih)	126
2.14.1. Stacionarno laminarno strujanje u cevima raznih poprečnih preseka	126
2.14.2. Raspodela brzine i zakon trenja u cevi eliptičnog poprečnog preseka	127
2.14.3. Pad pritiska usled trenja u cevima čiji se poprečni presek razlikuje od kružnog	129
2.14.4. Opšti oblik zakona trenja. Laminarno strujanje u cevi prstenastog preseka	130
2.14.5. Polje brzine i zakon trenja pri laminarnom strujanju u cevima pravougaonog poprečnog preseka	133
2.14.6. Zakon trenja pri laminarnom strujanju u pravougaonom procepu	135
2.14.7. Polje brzine i zakon trenja pri laminarnom strujanju u cevima čiji je poprečni presek oblika trougla ili kružnog isečka	136
2.14.8. Turbulentno strujanje u cevi trougaonog poprečnog preseka	138
2.14.9. Turbulentno strujanje i sekundarna strujanja druge vrste	139
2.14.10. Praktični obrasci za koeficijent trenja pri turbulentnom strujanju u cevima pravougaonog i prstenastog poprečnog preseka	141
2.14.11. Potpuno razvijeno laminarno strujanje u prostoru između dve ekscentrično postavljene kružne cevi	143
2.14.12. Turbulentno uopšteno Kuetovo strujanje u hidraulički glatkim cevima prstenastog poprečnog preseka	145
2.14.13. Metod proračuna turbulentnog Kuetovog strujanja sa gradijentom pritiska u prstenastoj cevi sa hidraulički glatkim površinama	147
2.14.14. Osnovni parametri laminarnog i turbulentnog strujanja u cevima različitih poprečnih preseka	148
2.15. Razvitak strujanja tečnosti i problemi laminarnog i turbulentnog strujanja u početnim (ulaznim) delovima cevi raznih preseka	151
2.15.1. Struktura laminarnog strujanja u ulaznoj, tj. početnoj deonici cevi	151
2.15.2. Analitičko rešenje razvitka laminarnog strujanja tečnosti u cilindričnoj cevi kružnog preseka	153
2.15.3. O još nekim rešenjima dobijenim iz linearizovanih jednačina količine kretanja	154
2.15.4. Primena integralnih oblika jednačina pri proučavanju razvitka laminarnog strujanja	157
2.15.5. Grafički prikaz raspodele brzine u ulaznoj deonici cevi pri laminarnom strujanju	159
2.15.6. Opšte zavisnosti koje definišu povećanje pada pritiska u početnim deonicama cevi	162
2.15.7. Raspodela pritiska u početnoj (ulaznoj) deonici cevi	164

2.15.8.	Razvitak laminarnog strujanja između dve ravne paralelne ploče	166
2.15.9.	Povećanje pada pritiska i dužina početne (ulazne) deonice pri laminarnom strujanju u cevima raznih poprečnih preseka	168
2.15.10.	Struktura turbulentnog strujanja u početnom (ulaznom) delu cevi	169
2.15.11.	Osnovne jednačine turbulentnog strujanja u početnim (ulaznim) deonicama hidraulički glatkih i hrapavih cevi	171
2.15.12.	Raspodela aksijalne brzine i koeficijenta trenja pri turbulentnom strujanju u ulaznoj deonici	172
2.16.	Strujanje tečnosti kroz procepe i hidrodinamička teorija podmazivanja	175
2.16.1.	Strujanje tečnosti kroz ravanske procepe, tj. zazore	175
2.16.2.	Potpuno razvijeno laminarno strujanje u ravanskom procepu	176
2.16.3.	Strujanje kroz ravanski i prstenasti procep	177
2.16.4.	Prstenasti koncentrični procep i sila trenja	178
2.16.5.	Ravanski procep i otpor kretanju ploče	179
2.16.6.	Prstenasti procep i frikciona pumpa	180
2.16.7.	Ravanski procep promenljiv u toku vremena i odgovarajuća sila	182
2.16.8.	Zavisnost sile od veličine procepa pri istiskivanju sloja tečnosti	184
2.16.9.	Ravanski procep promenljive širine	184
2.16.10.	Ravanski procep sa poroznim zidovima	185
2.16.11.	Procepi, sloj za podmazivanje i klizno ležište	186
2.16.12.	Problem hidrodinamičkog podmazivanja, Kretanje tankog sloja ulja u kliznom ležištu	188
2.16.13.	Ukupna sila pritiska i sila trenja kod aksijalnog kliznog ležaja	190
2.16.14.	Problem strujanja ulja u cilindričnom kliznom ležaju	191
2.16.15.	Dejstvo sile pritiska i sile trenja na rukavac vratila	193
2.16.16.	Proračun momenta trenja, raspodele pritiska i ekscentriciteta kliznog ležaja	195
2.16.17.	Proračun radijalnog ležaja pomoću formule Petrova	196
2.17.	Proračun ukupnog otpora kretanju tela u fluidu. Otpor trenja i otpor pritiska. Proračun laminarnog i turbulentnog graničnog sloja i vrtložnog traga	198
2.17.1.	Granični sloj, raspodele brzine i vrtložnosti i debљina graničnog sloja	198
2.17.2.	Uticaj gradijenta pritiska, odvajanje graničnog sloja i otpor pritiska	200
2.17.3.	Prantlove jednačine stacionarnog strujanja u ravanskom graničnom sloju	202
2.17.4.	Izvođenje Prantlovih jednačina iz Navije-Stoksovih jednačina u bezdimenzijskom obliku	204
2.17.5.	Struktura i razvoj graničnog sloja pri prelazu laminarnog strujanja u turbulentno	205
2.17.6.	Profil brzine i integralne karakteristike graničnog sloja	207
2.17.7.	Raspodela intenziteta vektora ugaone brzine fluidnog delića u blizini tačke odvajanja	210
2.17.8.	Integralna jednačina količine kretanja za strujanje u graničnom sloju	211

2.17.9.	Raspodele brzine i njenih izvoda u graničnom sloju i položaj tačaka odvajanja	213
2.17.10.	Proračun laminarnog graničnog sloja i otpor trenja pri opstrujavanju ravne ploče	215
2.17.11.	Raspodela pritiska po površi opstrujavanog tela. Otpor pritiska, tj. čeoni otpor	218
2.17.12.	Dejstvo viskozne tečnosti na opstrujavano telo. Sila otpora kretanju tela ...	222
2.17.13.	Struktura strujanja pri opstrujavanju tela viskoznom tečnošću	224
2.17.14.	Određivanje sile otpora za ploču na osnovu raspodele brzine u vrtložnom tragu	225
2.17.15.	Smicajni sloj, nestabilnost laminarnog strujanja i nastanak turbulentacije	227
2.17.16.	Struktura i jednačine turbulentnog graničnog sloja	228
2.17.17.	Proračun turbulentnog graničnog sloja bez gradijenta pritiska i određivanje otpora trenja za ploču	229
2.17.18.	Koefficijent otpora i koefficijenti pritiska za tela različitih oblika	231
2.17.19.	Primena jednačine impulsa za određivanje otpora kretanju hidraulički gлатke ploče	233
2.17.20.	Proračun laminarnog graničnog sloja na ravnoj ploči – raspodela brzine zadata polinomom četvrtog stepena	235
2.17.21.	Proračun turbulentnog graničnog sloja na ravnoj ploči pri stepenom zakonu promene brzine	236
2.17.22.	Raspodela tangencijalnog napona, debljine laminarnog graničnog sloja, debljine istiskivanja i debljine gubitka impulsa duž ravne ploče	236
2.17.23.	Koefficijent otpora ploče kao funkcija od hrapavosti i Rejholdsova broja ..	237
2.17.24.	Proračun turbulentnog traga iza ploče	239
2.17.25.	Sila otpora kretanju cilindričnog tela	241
2.17.26.	Otpor i raspodela brzine u vrtložnom tragu poprečno opstrujavanog kružnog cilindra	241

3. DVODIMENIJSKA STRUJANJA NEVISOZNOG FLUIDA

3.13.	Ravanska stacionarna strujanja nestišljivog fluida i konformno preslikavanje ovih strujanja	243
	• Jednačina kontinuiteta i strujna funkcija • Zapreminski protok • Vektor vrtložnosti • Potencijal brzine • Koši-Rimanove jednačine • Kompleksni potencijal i kompleksna brzina • Cirkulacija • Bernulijeva jednačina • Kompleksni potencijali osnovnih strujanja • Konformno preslikavanje • Transformacija Žukovskog • Teorema o kružnici.	
3.13.1.	Strujanje u pravom ugлу, udar paralelne struje u ravnu površ, konformno preslikavanje i dvopol	246
3.13.2.	Formiranje kompleksnog potencijala na osnovu zadate projekcije brzine, konformno preslikavanje i izvor u jednolikoj strui – opstrujavanje neograničenog tela (polutela)	248
3.13.3.	Strujanje u polju osamljenog dvopola i primena Bernulijeve jednačine	249

3.13.4.	Konformno preslikavanje strujanja u uglovima u strujno polje ponora smeštenog u jednolikoj struji	250
3.13.5.	Strujanje u polju hidrodinamičkih singulariteta tipa osamljenog izvora, kao i u polju izvora i ponora jednakih izdašnosti	251
3.13.6.	Hidrodinamički singulariteti tipa osamljenog vrtloga, kao i dva vrtloga čije su cirkulacije istog intenziteta, ali suprotog znaka	253
3.13.7.	Potencijali brzine i strujne funkcije pri strujanju u uglovima i u polju ponora postavljenog u jednoliku struju	254
3.13.8.	Metod određivanja strujnog polja za slučaj poznate funkcije potencijala brzine	255
3.13.9.	Analiza strujnog polja osamljenog kosog dvopola kao i acikličnog opstrujavanja kružnog cilindra	256
3.13.10.	Metod određivanja strujnog polja kada je zadata strujna funkcija. Dvopol u jednolikoj struji i superpozicija vrtloga – ciklično opstrujavanje kružnog cilindra	258
3.13.11.	Strujanje u polju hidrodinamičkih singulariteta tipa izvora različitih izdašnosti	259
3.13.12.	Strujanje u polju dva hidrodinamička singulariteta tipa istosmernih vrtloga jednakih cirkulacija	260
3.13.13.	Osamljeni vrtlog, primena Bernulijeve jednačine i izvor u jednolikoj struji ...	262
3.13.14.	Dekompozicija kompleksnog potencijala, izlaganje izvora i ponora jednakih izdašnosti jednolikoj struji i dvopol	263
3.13.15.	Superpozicija hidrodinamičkih singulariteta tipa izvora i ponora istih i različitih izdašnosti	264
3.13.16.	Analiza strujanja u polju dva suprotnosmerna vrtloga istih cirkulacija i njegovo preslikavanje u strujno polje ponora izloženog jednolikoj struji	265
3.13.17.	Opstrujavanje ovalnog cilindra, tj. ovala Rankina. Aciklično strujanje oko kružnog cilindra i primena teoreme o kružnici	266
3.13.18.	Strujanja u polju hidrodinamičkih singulariteta tipa izvora i vrtloga, kao i zamena odgovarajućih strujničica ravnim zidom	268
3.13.19.	Kompleksni potencijal, strujna funkcija i potencijal brzine strujanja u polju dva suprotnosmerna vrtloga i njihovo konformno preslikavanje u jednoliku pravolinijsku struju	270
3.13.20.	Superpozicija izvora i ponora istih izdašnosti, konformno preslikavanje i osamljeni vrtlog	271
3.13.21.	Superpozicija dvopola i jednolike pravolinijske struje – aciklično opstrujavanje kružnog cilindra	273
3.13.22.	Izvor u polju jednolike pravolinijske struje i preslikavanje dobijenog strujanja u polje osamljenog dvopola	274
3.13.23.	Konformno preslikavanje strujnog polja dva suprotnosmerna vrtloga u polje osamljenog izvora	275
3.13.24.	Kompleksni potencijali strujanja u polju jednolike struje i ponora, kao i u polju dva suprotnosmerna vrtloga	276

3.13.25. Analiza strujnih polja dva izvora istih izdašnosti kao i dvopola u jednolikoj struji	277
3.13.26. Određivanje kompleksnog potencijala strujanja koje se formira postavljanjem kružnog cilindra u polje izvora – problem opstrujavanja kružnog cilindra izvorom. Strujsna slika dva ponora jednakih izdašnosti	278
3.13.27. Superpozicija strujnih polja ponora i dva izvora. Strujanje u polju vrtloga zdržanog sa izvorom (sličnost sa turbomašinama)	280
3.13.28. Analiza konformnih preslikavanja dobijenih primenom funkcije Žukovskog – preslikavanje kružnica u duži, elipse i simetrične profile Žukovskog	282
3.13.29. Razmatranje transformacije Žukovskog u slučajevima preslikavanja familije kružnica u familije kružnih lukova i familije profila Žukovskog (veliki značaj za tehničku praksu)	284
3.13.30. Određivanje kompleksnih potencijala strujanja oko ravne ploče i oko eliptičkog cilindra primenom transformacije Žukovskog	286
3.14. Dejstvo struje nestišljivog fluida na telo	288
• Sila pritiska • Moment sila pritiska • Blazijus-Čapljinov obrazac	
• Opšti oblik kompleksnog potencijala složenih strujanja • Hidrodinamički singulariteti, Loranov red i reziduum funkcije • Teorema Kuta-Žukovskog	
• Cirkulacija i sila uzgona • Izračunavanje sila pritiska primenom Lagalijeve formule.	
3.14.1. Određivanje sile pritiska na kružni cilindar koji je postavljen u jednoliku pravolinijušku struju	290
3.14.2. Izračunavanje rezultujućeg momenta za element konstrukcije oblika četvrtine tanke cilindrične ljske izložene dejstvu jednolikog strujanja	291
3.14.3. Sila pritiska i njen moment pri opstrujavanju eliptičkog cilindra	292
3.14.4. Određivanje sile pritiska i njenog momenta za koordinatni početak pri opstrujavanju ravne ploče	292
3.14.5. Primena postulata Žukovskog-Čapljinina i analiza sile pritiska na simetrični profil Žukovskog izložen jednolikoj struji	293
3.14.6. Izračunavanje sile pritiska na kružni cilindar koji se nalazi u strujnom polju izvora. Primena Blazijus-Čapljinove i Lagalijeve formule ...	295
3.15. Osnosimetrična stacionarna strujanja nestišljivog fluida	298
• Meridijanska ravan i cilindrični koordinatni sistem • Radijalna i aksijalna brzina • Jednačina kontinuiteta i uvođenje strujne funkcije • Zapreminski protok • Vrtložnost i potencijal brzine • Jednačine za proučavanje osnosimetričnih potencijalnih strujanja • Princip slaganja osnovnih strujanja u cilju dobijanja složenih strujanja.	
3.15.1. Određivanje potencijala brzine i strujne funkcije iz zadate projekcije brzine ..	299
3.15.2. Polje brzine i pritiska, potencijal brzine i strujska funkcija pri osnosimetričnom strujanju u prisustvu ravног zida	300

3.15.3.	Analiza brzinskog polja i raspodele pritiska u osnosimetričnom strujanju određenom sa zadatom strujnom funkcijom	301
3.15.4.	Istraživanje zbirnog strujanja koje nastaje zdržavanjem tačkastog izvora sa jednolikom strujom. Polje brzine i protok	302
3.15.5.	Analiza opstrujavanja glavčine aksijalnog zamajca. Raspodele brzine i pritiska	304
3.15.6.	Određivanje potencijala brzine pri opstrujavanju obrtnog elipsoida i sfere paralelnom jednolikom strujom	306
3.16.	Osnovne matematičke metode hidromehanike.	
	Metode hidrodinamičkih singulariteta i teorije analitičkih funkcija	310
1.	Primena metode superpozicije singulariteta. Neprekidne raspodele hidrodinamičkih singulariteta; 2. Potencijal brzine i strujna funkcija osnovnih osnosimetričnih strujanja: 2.1. Jednoliko strujanje; 2.2. Tačasti izvor; 2.3. Prostorni dvopol; 3. Primena analitičkih funkcija kompleksne promenljive u hidromehanici (Košijeva integralna formula, Loranov red, reziduum, singulariteti, konformno preslikavanje, metod lika, tj. simetrije): 3.1. Integraljenje, Košijeva teorema i njeni fizički tumačenje; 3.2. Singulariteti, stav o ekivalenciji putanja integraljenja – princip deformacije konture integraljenja i Košijeva integralna formula; 3.3. Razvoj analitičke funkcije u stepeni red. Tejlorov red. Izolovane singularne tačke jednoznačnih analitičkih funkcija. Loranov red. Reziduum (ostatak) funkcije; 3.4. Integraljenje analitičkih funkcija metodom reziduuma. Košijeva teorema reziduuma (Košijev stav o ostaku funkcije); 3.5. Izračunavanje reziduuma funkcije za slučaj da singulariteti predstavljaju polove funkcije.	
3.16.1.	Nesimetrično opstrujavanje paraboličkog profila. Neprekidna raspodela vrtloga duž x-ose	325
3.16.2.	Metoda hidrodinamičkih singulariteta. Primer dobro opstrujavanog tela – superpozicija izvora i sistema neprekidno rasporedenih ponora u jednolikoj struci	327
3.16.3.	Dejstvo rešetke profila – polje brzine beskonačnog niza vrtloga	328
3.16.4.	Metod hidrodinamičkih singulariteta pri osnosimetričnom strujanju – podužno opstrujavanje obrtnih tela	328
3.16.5.	Dejstvo struje neviskoznog fluida na cilindrično telo – formula Blazijus-Čapljinina: a) Blazijus-Čapljininovi obrazci; b) Primena Košijeve teoreme o reziduumu	331
3.16.6.	Fizičko značenje reziduuma kompleksne brzine	334
3.16.7.	Opšti izrazi za kompleksni potencijal i kompleksnu brzinu	335
3.16.8.	Opstrujavanje proizvoljne zatvorene konture jednolikom pravoliniskom strujom. Paradaksi modela neviskozne tečnosti. Obrazac Kuta-Žukovskog. Postupak praktičnog određivanja sile i momenta	337
3.16.9.	Konformno preslikavanje – opstrujavanje proizvoljne konture: a) Opstrujavanje elipse ili prave, tj. beskonačno tankе ravne ploče; b) Opstrujavanje nekih krivih trećeg reda; c) Opstrujavanje konture oblika parabole; d) Opstrujavanje konture oblika hiperbole i strujanje u uglovima ...	340

3.16.10. Primena metode konformnog preslikavanja i postulata Žukovskog -Čapljigina: a) Ciklično strujanje oko eliptičkog cilindra; b) Ciklično opstrujavanje ravne ploče; c) Ačiklično strujanje oko ravne ploče; d) Sila, moment, koefficijent uzgona i koefficijent momenta pri cikličnom opstrujavanju ravne ploče	343
3.17. Primene metoda singulariteta I teorije analitičkih funkcija u hidromehanici	351
1. Određivanje sile dejstva hidrodinamičkih singulariteta na opstrujavano telo. Lagalijeve formule; 2. Primene Lagalijevih formula u slučaju ravanskog strujanja; 3. Uzajamno dejstvo hidrodinamičkih singulariteta i nepokretnih čvrstih površi. Metoda lika (slike) – princip simetrije (refleksije): 3.1. Princip simetrije – metod hidrodinamičkog lika u odnosu na ravnou površ (zid). Teorema o pravoj; 3.2. Metod lika u odnosu na krivu čvrstu površ – lik hidrodinamičkog singulariteta u odnosu na kružni cilindar. Teorema o kružnici.	
3.17.1. Primeri primene teoreme o kružnicama: a) Kružni cilindar u polju jednolike struje; b) Strujanje izazvano osamljenim vrtložnim vlaknom u prisustvu kružnog cilindra; c) Kružni cilindar u polju dva vrtloga; d) Par vrtloga umutar cilindra; e) Strujanje izazvano dvopolom u prisustvu kružnog cilindra	356
3.17.2. Uzajamno dejstvo hidrodinamičkih singulariteta i ravnih čvrstih površi: a) Međudejstvo izvora (ponora) i ravnog zida; b) Metod uzastopnih (sukcesivnih) likova izvora u odnosu na paralelne ravni; c) Uzajamno dejstvo dvopola i ravnog čvrstog zida; d) Međudejstvo vrtloga i ravnog zida	357
3.17.3. Sila pritiska na kružni cilindar postavljen u polje izvora.	
Metoda lika u odnosu na kružnicu	365
3.17.4. Kružni cilindar u polju osamljenog neograničenog pravolinijskog vrtložnog vlakna	366
3.17.5. Kružni cilindar u strujnom polju izvora – metoda lika	366
3.17.6. Sila na kružni cilindar postavljen u strujno polje dvopola	367
3.17.7. Ačiklično i ciklično opstrujavanje kružnog cilindra vrtlogom	368
3.17.8. Vrtložno vlakno u jednolikoj pravolinijskoj struji	371
3.17.9. Par vrtložnih vlakana u jednolikom strujanju.	
Dvopol kao granična vrednost	372
3.17.10. Sila na kružni cilindar u prisustvu čvrste ravne površi; par suprotnosmernih vrtloga jednakog intenzitetu	375
3.17.11. Razni slučajevi opstrujavanja kružnog cilindra spoljašnjim izvorom i ponorom	376
3.17.12. Opstrujavanje eliptičkog cilindra jednolikom pravolinijskom strujom	380
3.17.13. Sila na ploču postavljenu u jednoliko strujanje	381
3.17.14. Ciklično strujanje oko ravne ploče. Konformno preslikavanje i teorema o kružnici	382
3.17.15. Opstrujavanje paraboličkog profila	383

IZABRANA POGLAVLJA IZ HIDRODINAMIKE

3.17.16. Primena konformnog preslikavanja pri formiranju jednog od profila Žukovskog	383
3.17.17. Analiza nekih kompleksnih potencijala	384
3.17.18. Primena principa simetrije, tj. metode lika pri formiranju različitih klasa strujanja	386
3.17.19. Metoda lika i konformno preslikavanje	386
3.17.20. Preslikavanje kružnice Loranovim redom u acropotfil	387
3.17.21. Ciklično opstrujavanje ograničenih kontura	388
3.17.22. Opstrujavanje neograničenih i polusograničenih kontura, tj. tela	388
3.17.23. Medudejstvo pravolinijskih vrtložnih vlakana	389
3.17.24. Periodično strujanje	389
3.17.25. Princip simetrije i periodično strujanje	390
3.17.26. Brzina kretanja pravolinijskog vrtložnog vlakna koje se nalazi izvan nepokretnog kružnog cilindra	391
3.17.27. Niz vrtloga u jednolikom strujanju – rešetka profila	392
3.17.28. Kretanje sistema vrtloga	392
3.17.29. Opstrujavanje izvorom konture sastavljene od prave linije i polukruga koja predstavlja trag ravno-cilindrične površi u strujnoj ravni	393
3.17.30. Sila na cilindar postavljen u složeno strujno polje	395
LITERATURA	399

Gubitak energije po jedinici dužine može da se izrazi pomoću funkcije disipacije ϕ , koja se u ovom slučaju svodi na izraz $\eta(\partial v_x / \partial y)^2$, tako da je gubitak energije jednak

$$\int_0^h \phi dy = \eta \int_0^h (\partial v_x / \partial y)^2 dy = (\rho g \sin \alpha)^2 h^3 / 3\eta.$$

Očigledno je da se isti rezultat dobija i kada se neposredno razmatra rad sile trenja F_λ

$$\int_0^h F_\lambda dv_x = \eta \int_0^h (\partial v_x / \partial y) dv_x = \eta \int_0^h (\partial v_x / \partial y)^2 dy.$$

2.13.22. Poprečni presek prstenaste elastične cevi dužine $l_1 + l_2$ sužava se na deonici dužine l_1 sa prečnika d_2 na prečnik d_1 . Suženje se rasprostire, tj. kreće brzinom v_s duž cevi, koja je ispunjena njutnovskim fluidom viskoznosti η . Pretpostavlja se da se, kako u suženom, tako i u proširenom delu cevi, uspostavlja Puazejevo strujanje. Gubici energije na mestima promene preseka se zanemaruju.
a) Koliku razliku pritisaka $p_u - p_i$ proizvodi ova jednostavna peristaltička pumpa (sl. 2.13.22)? b) Izračunati zapreminski protok \dot{V}_2 kroz presek A - A. Zadate veličine su: $l_1 = 8 \text{ cm}$, $l_2 = 50 \text{ cm}$, $d_1 = 6 \text{ mm}$, $d_2 = 20 \text{ mm}$, $v_s = 0,7 \text{ m/s}$, $\eta = 0,1 \text{ Ns/m}^2$.

RJEŠENJE: a) Tražena razlika pritisaka saglasno formulama (2.13.18) iznosi

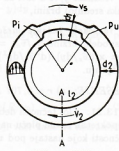
$$p_u - p_i = 32\eta v_s \frac{l_2}{d_2^2} \frac{1 - (d_1/d_2)^2}{1 + l_2 d_1^4/l_1 d_2^4} = 24,3 \text{ mbar.}$$

b) U skladu sa izrazima (2.13.18) izvedenim za Puazejevo strujanje zapreminski protok određen je formulom (Hagen-Puazej)

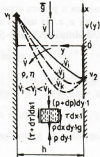
$$\dot{V}_2 = \frac{\pi}{128} \frac{p_u - p_i}{\eta l} d_2^4 = \pi R_2^2 v_s \frac{1 - (R_1/R_2)^2}{1 + l_2 R_1^4/l_1 R_2^4}$$

u kojoj je $R_i = d_i/2$, $i = 1, 2$. Za date brojne podatke sledi $\dot{V}_2 = 190 \text{ cm}^3/\text{s}$.

2.13.23. Nestišljiv Njutnovski fluid gustine ρ i konstantne dinamičke viskoznosti η nalazi se izmedju dve vertikalne medjusobno paralelne ploče, od kojih se leva kreće konstantnom brzinom v_1 u pozitivnom, a desna brzinom v_2 u negativnom smeru x-ose (sl. 2.13.23). Ploče su na rastojanju h i medijum se nalazi u polju sile Zemljine teže \vec{g} . a) Pod pretpostavkom da je strujanje stacionarno, laminarno i potpuno razvijeno odrediti onaj gradijent pritiska dp/dz , pri kome se uspostavlja zadati zapreminski protok V za jediničnu visinu ($z = 1$) u negativnom smeru ose z ; b) Skicirati kvalitativno raspodelu brzine izmedju



Slika 2.13.22.



Slika 2.13.23.

zidova za razne protoke. Zadate veličine su ρ , η , h , v_1 , v_2 , \dot{V} i g .

REŠENJE: a) U saglasnosti sa jednačinom dinamičke ravnoteže bilans sila na izdvojeni element fluida glasi (sl. 2.13.23)

$$-\rho \partial dx dy + pdy - (p + dp)dy - \tau dx + (\tau + d\tau)dx = 0. \quad (1)$$

Uvrštavanjem $\tau = \eta dv/dy$ u jednačinu (1) dobija se diferencijalna jednačina

$$\frac{d^2 v}{dy^2} = \eta^{-1} (dp/dx + \rho g),$$

čijim se integraljenjem i korišćenjem graničnih uslova $v(y=0) = -v_2$ i $v(y=h) = v_1$ dobija

$$v(y) = -v_2 + \left[v_1 + v_2 - \frac{h^2}{2\eta} \left(\frac{dp}{dx} + \rho g \right) \right] \frac{y}{h} + \frac{h^2}{2\eta} \left(\frac{dp}{dx} + \rho g \right) \left(\frac{y}{h} \right)^2. \quad (2)$$

Zadati protok \dot{V} u negativnom smeru x -ose definisan je pomoću (2) izrazom (3)

$$-\dot{V} = \int_{y=0}^h v(y) dy = -v_2 h + \left[v_1 + v_2 - \frac{h^2}{2\eta} \left(\frac{dp}{dx} + \rho g \right) \right] \frac{h}{2} + \left(\frac{dp}{dx} + \rho g \right) \frac{h^3}{6\eta}, \quad (3)$$

iz kojeg sledi traženi izraz za gradijent pritiska u funkciji zadatih veličina

$$\frac{dp}{dx} = (12\eta/h^3)[\dot{V} + (v_1 - v_2)h/2] - \rho g.$$

b) Profili brzine $v(y)$ za različite vrednosti protoka \dot{V} za slučaj $v_1 = v_2$ kvalitativno su prikazani na slici 2.13.23.

2.13.24. Cilindrični rezervoar poluprečnika R_0 obrće se konstantnom ugaonom brzinom ω oko svoje vertikalne ose. Tečnost gustine ρ i viskoznosti η nalazi se na visini h od dna suda duž ose obrtanja i ističe kroz horizontalnu cev dužine l i malog poluprečnika R . a) Odrediti zavisnost natpritiska $p(z) - p_s$ u cevi od koordinate z ; b) Izračunati zapreminska protok \dot{V} koji pri tome nastaje. Zadate brojne vrednosti su $h = 0,5$ m, $l = 0,3$ m, $R = 0,5$ mm, $R_0 = 0,2$ m, $\eta = 10^{-3}$ Ns/m², $\rho = 1$ Mg/m³ i $\omega = 10$ rad/s.

REŠENJE: a) Pretpostavlja se da je u cevi formirano potpuno razvijeno laminarno strujanje, tj. da je dužina ulazne deonice l_p zanemarljivo mala u odnosu na dužinu l (videti Odeljak 2.15.).

Osim površinskih sila pojavljuje se u ovom slučaju i masena sila, tj. centrifugalna sila $\omega^2(R_0 + z)$, tako da iz uslova dinamičke ravnoteže izdvojenog fluida u obliku cilindra infinitezimalne dužine dx sledi, saglasno oznakama na slici 2.13.24, sledeća relacija

$$2\pi r dx \cdot \tau(r) + \rho \pi r^2 dx \cdot \omega^2(R_0 + x) = \pi r^2 \cdot dp$$

$$\text{tj. } 2\tau(r)/r = dp/dx - \rho\omega^2(R_0 + x). \quad (1)$$

Ako se za označavanje reda veličine koristi simbol " $\sim O(\cdot)$ " onda se, saglasno relacijama (4) u problemu 2.17.3., dobijaju zavisnosti

$$\epsilon = \delta/l \ll 1, \quad x^* \sim O(1), \quad y^* \sim O(\epsilon), \quad v_x^* \sim O(1). \quad (1)$$

Pošto je u jednačini kontinuiteta (2.17.10) $\partial v_x^*/\partial x^* \sim O(1)$, onda je i $\partial v_y^*/\partial y^* \sim O(1)$. Odavde sledi red veličine poprečne brzine v_y , tj. $v_y^* \sim O(\epsilon)$. Pomoću ovog rezultata i relacija (1) može se odrediti red veličine svakog od članova u jednačinama (2.17.9)

$$\begin{aligned} v_x^* \frac{\partial v_x^*}{\partial x^*} &\sim O(1)O\left(\frac{1}{1}\right) \sim O(1)O(1) \sim O(1), \quad v_y^* \frac{\partial v_x^*}{\partial y^*} \sim O(\epsilon)O\left(\frac{1}{\epsilon}\right) \sim O(1), \quad \frac{\partial E_u}{\partial x^*} \sim O(1), \\ \frac{\partial^2 v_x^*}{\partial x^{*2}} &\sim O(1), \quad \frac{\partial^2 v_x^*}{\partial y^{*2}} \sim O\left(\frac{1}{\epsilon^2}\right), \quad v_x^* \frac{\partial v_y^*}{\partial x^*}, \quad v_y^* \frac{\partial v_y^*}{\partial y^*}, \quad \frac{\partial^2 v_y^*}{\partial x^{*2}} \sim O(\epsilon), \\ \frac{\partial E_u}{\partial y^*}, \quad \frac{\partial^2 v_y^*}{\partial y^*} &\sim O\left(\frac{1}{\epsilon}\right), \quad \frac{1}{Re} \left(\frac{\partial^2 v_x^*}{\partial x^{*2}} + \frac{\partial^2 v_y^*}{\partial y^{*2}} \right) \sim O(1) \Rightarrow Re \sim O(1/\epsilon^2) \end{aligned} \quad (2)$$

Iz relacija (2) sledi zavisnost (2.17.5) $\partial p/\partial y = 0$, kao i rezultat da Re -broj treba da ima najveći red veličine $1/\epsilon^2$, da bi bio zadovoljen postulat teorije graničnog sloja, saglasno kome su u graničnom sloju viskozne sile i sile inercije veličine istog reda. Kada se u (2.17.9) *zanemare* svi članovi čiji je red veličine manji od jedan i tako dobijena jednačina napiše u dimenzijskom obliku, dobija se tražena jednačina (2.17.6). Pri tome jednačina (2.17.10) prelazi u jednačinu (2.17.7).

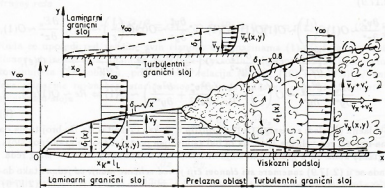
2.17.5. Struktura i razvoj graničnog sloja pri prelazu laminarnog strujanja u turbulentno

Razvoj profila brzine u graničnom sloju razmatran je u problemima 2.17.1. i 2. Prepostavljajući transformaciju laminarnog graničnog sloja u turbulentni skicirati razvoj takvog "mešovitog" graničnog sloja na ravnoj ploči i opisati njegovu strukturu.

REŠENJE: Struktura strujanja u graničnom sloju na raznim rastojanjima x od prednje ivice ploče može da bude različita.

Na slici 2.17.5 prikazana je shema razvijta graničnog sloja na gornjoj površi ravne polubeskonačne ploče pri njenom opstrujavanju viskoznim fluidom. Na delu $x = x_k = l_L$ struktura strujanja u graničnom sloju odgovara slojevitom, laminarnom strujanju sa karakterističnom raspodelom brzine $v_x(x, y)$. Zakon promene debljine δ_l laminarnog graničnog sloja određen je relacijom (2.17.1), tj. $\delta_l/x \sim 1/\sqrt{Re_x} = 1/\sqrt{v_\infty x/\nu}$, odakle sledi $\delta_l \sim \sqrt{x}$. Zbog razvoja graničnog sloja i zbog jednačine kontinuiteta dolazi do izvesnog povećanja rastojanja izmedju strujnica u blizini čvrste površi. Usled ovoga nastaje poprečna brzina v_y čiji je red veličine dat formulom (5), tj. (5') u problemu 2.17.3. Pored promene debljine graničnog sloja nastaje i promena režima strujanja u njemu. Naime, sa porastom

koordinate x povećava se i Rejnoldsov broj Re_x , čime se narušava *stabilnost laminarnog strujanja*, i ono postepeno prelazi u *turbulentno*. U prelaznoj oblasti strujnice dobijaju talasast oblik, kao posledicu gubitka stabilnosti, a potom se razvija stabilno turbulentno strujanje. Rastojanje $x_k = l_L$ zavisi uglavnom od intenziteta, tj. stepena turbulentcije spoljašnjeg, neporemećenog strujanja i hrapavosti čvrste površi. Red veličine kritičnog Rejnoldsovog broja $Re_k = v_\infty x_k / \nu$, pri kome dolazi do prelaska laminarnog strujanja u turbulentno, nalazi se u granicama $10^5 \div 10^6$.



Slika 2.17.5.

Za $x > (\nu Re_k / v_\infty)$ formira se turbulentni granični sloj, u kome usled fluktuacija brzine v'_x i v'_y dolazi do intenzivnih turbulentnih transportnih procesa. Mehanizam turbulentne razmene i prenosa materije, energije i količine kretanja dovodi do znatno ravnomernijeg profila brzine $\bar{v}_x(x, y)$ i znatno većih gradijenata brzine u blizini zida, tj. površi ploče, nego u slučaju laminarnog graničnog sloja. Dakle, tangencijalni napon na površi ploče znatno je veći u turbulentnom nego laminarnom graničnom sloju, pa određivanje mesta prelaska laminarnog u turbulentno strujanje predstavlja ne samo teorijski, već i veliki praktični interes.

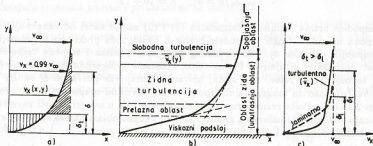
Usled turbulentne difuzije i konvekcije dolazi do bržeg povećanja debljine turbulentnog graničnog sloja $\delta_t(x)$ u odnosu na debljinu δ_l pri laminarnom strujanju. Turbulencija u graničnom sloju je tipičan primer *nehomogene*, tj. *neizotropne turbulentcije*. U neposrednoj blizini čvrste površi intenzitet turbulentne razmene se smanjuje, a uticaj viskoznosti raste, tako da se celokupna strujna oblast deli na *viskozni podsloj*, turbulentni granični sloj i spoljašnje neporemećeno strujanje. U viskoznom podsloju, čija je debljina vrlo mala, tangencijalni napon je određen samo viskoznošću i može se smatrati konstantnim i jednakim naponu na zidu, tj. na površi ploče $\tau = \rho v \partial v_x / \partial y = \tau_w$. U turbulentnom sloju fluktuacije brzine stvaraju znatne turbulentne tangencijalne napone, dok je uticaj viskoznih tangencijalnih napona zanemarljivo mali. Spoljašnje strujanje se može smatrati potencijalnim, jer je uticaj tangencijalnih napona u toj oblasti veoma

mali. Granice izmedju ovih oblasti imaju uslovni karakter i određuju se unapred zadatom tačnošću proračuna. Prikaz ovih oblasti i odgovarajućih profila brzine dat je na slici 2.17.5. Primenom integralne jednačine količine kretanja pokazuje se da se *debljina turbulentnog graničnog sloja* menja po zakonu $\delta_t \sim x^{4/5} = x^{0.8}$ (v. primere 2.17.17. i 19.).

2.17.6. Profili brzine i integralne karakteristike graničnog sloja

Objasniti i nacrtati karakteristične oblasti turbulentnog graničnog sloja, kao i profile brzina u turbulentnom i laminarnom graničnom sloju. Napisati izraze za *debljinu istiskivanja* δ_1 i *debljinu gubitka impulsa* δ_2 .

REŠENJE: U turbulentnom graničnom sloju, za razliku od laminarnog, struktura strujanja fluida se menja sa rastojanjem od čvrste površi. Strujanje u turbulentnom graničnom sloju deli se u tri karakteristične oblasti (v. sl. 2.17.6b): 1 – vrlo tanki viskozni podsloj debljine $(0,001 \div 0,01)\delta_t$ u kojem je dominantno dejstvo viskoznih sile, 2 – oblast zidne turbulentcije koja predstavlja manji deo potpuno razvijenog turbulentnog strujanja i 3 – oblast slobodne turbulentcije koja obuhvata veći deo turbulentnog graničnog sloja dalje od zida sve do prelaska u slobodno strujanje van graničnog sloja. Prelaz iz jedne u drugu oblast je postepen, iako svaka od njih ima svoja karakteristična svojstva. Pri tome prelazna oblast izražava specifična svojstva prelaska viskoznog podsloja u oblast graničnog sloja sa izraženom turbulentcijom.



Slika 2.17.5. a) Debljina graničnog sloja δ i debljina istiskivanja δ_1 ; b) Karakteristične oblasti strujanja u turbulentnom graničnom sloju; c) Profili brzine u debljinama laminarnog i turbulentnog graničnog sloja.

U vrlo tankom viskoznom podsloju tangencijski napon se malo menja, tj. ostaje konstantan i jednak naponu na zidu $\tau_w = \eta(\partial \bar{v}_x / \partial y)_{y=0}$, pa je, u skladu sa Njutnovom formulom trenja, raspodela brzine u njemu linearna

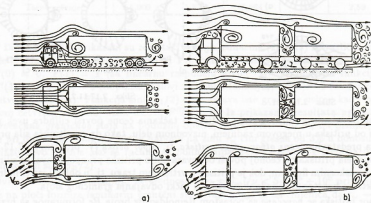
$$\bar{v}_x = \frac{\tau_w}{\eta} y = \frac{v_\infty^2}{\nu} y, \quad v_* = (\tau_w / \rho)^{1/2} \quad \Leftarrow (2.13.48).$$
(1)

u kome je c_p koeficijent otpora pritiska, a A_∞ je površina projekcije opstrujavanog tela na ravan upravnu na vektor brzine dolazećeg, neporemećenog strujanja (v. problem 2.17.12.).

Vrednosti koeficijenta otpora pritiska za izvesna tela sa oštrim ivicama kod kojih je, dakle, *otpor pritiska dominantan u odnosu na otpor trenja*, date su u tabeli 2.17.11. Koeficijent c_p zavisi od *Re*-broja i oblika opstrujavanog tela. U slučaju većih Rejnloldsova brojeva koeficijent otpora pritiska zavisi samo od *oblika tela* (v. tabelu 2.17.11).

Tabela 2.17.11.

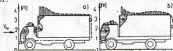
Oblik opstrujavanog ⇒ tela	Disk upravan na struju fluida	Pravougaona ploča normalna na struju sa odnosom a/b					Kružni cilindar sa osom paralelnom struji fluida pri l/d			
Koeficijent otpora pritiska $c_p \Rightarrow$	1,11	1	2	4	10	∞	1	2	4	7
		1,10	1,15	1,19	1,29	2,01	0,91	0,85	0,87	0,99



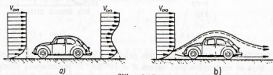
Slika 2.17.11.3.

Skice strujnih slika koje nastaju pri opstrujavanju teretnih motornih vozila sa i bez prikolice prikazane su na slici 2.17.11.3. Vizualizacijom strujanja utvrđene su različite strukture i hijerarhije vrtloga u zavisnosti od oblika vozila i ugla pod kojih se opstrujava. Drugi crtež na slikama 2.17.11.3a i 2.17.11.3b označava osnosimetrično opstrujavanje, dok se treći crtež odnosi na opstrujavanje vozila strujom vazduha brzine v_∞ pod uglom β . Odvajanje graničnog sloja i formiranje mnogobrojnih makrovrtloga dovodi do složenih raspodela pritiska na svim površima vozila, koje znatno povećavaju aerodinamički otpor kretanju vozila. Nastajanje graničnog sloja sa donje strane izaziva smanjenje brzine i odgovarajuće povećanje pritiska, koji

dovodi do strujanja vazduha vertikalno naviše, čime se stvara dodatni otpor i povećana zaprljanost vozila. Veliki uticaj na strukturu strujnog polja i karakter otpora ima bočni vетар (v. ugao β na sl. 2.17.11.3). Naime, pravilna raspodela makrovrtloga se narušava, oni se pomeraju ka "zavetinskoj" strani i započinju kretanje duž bočne strane, što znatno uvećava oblast čeonog otpora karoserije i bitno povećava otpor.



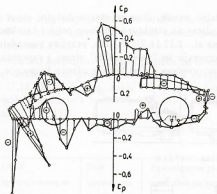
Slika 2.17.11.4.



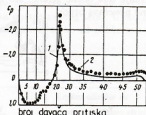
Slika 2.17.11.5.

Uticaj graničnog sloja na opstrujavanje automobila prikazan je na slici 2.17.11.4. Pokazano je da granični sloj formiran na platformi vozila ima dvostruki uticaj. Naime, usled gubitka brzine u graničnom sloju menjaju se sila aerodinamičkog otpora i položaj njene napadne tačke (v. sl. 2.17.11.4a), tj. smanjuje se otpor. S druge strane, međutim, strujnice se, za debljinu istiskivanja (v. izraz 2.17.11) pomeraju vertikalno naviše što dovodi do povećanja sile uzgona i sile otpora (v.sl. 2.17.11.4b – puna linija označava uzimanje u obzir graničnog sloja, dok linija crta-crta označava njegovo zanemarivanje, tj. proračun strujanja neviskoznog fluida). U ovom slučaju se menja položaj zaustavne tačke, protok vazduha, oblast odvajanja struje na krovu, brzina strujanja ispod šasije automobila, prenos toploće i isticanje izduvnih gasova. Na osnovu raspodele pritiska zaključuje se o veličini otpora, strukturi i broju makrovrtloga, kao i o stepenu zagadjenosti kabine i karoserije. Polje natpritisaka označeno je znakom "+", a potpritisaka znakom "-" (v.sl. 2.17.11.5). Vidi se da na karakter raspodele pritiska utiče čitav niz konstruktivnih parametara. Za slučaj kabine koja ima bolje opstrujavani, tj. "strujolikiji" oblik dolazi do smanjenja pritiska na čeonom delu kabine i stvaranja potpritisaka na njenom krovu. Pri tom, ipak, raste potpritisak na prednjem delu krova karoserije (v.sl. 2.17.11.5a). Kod lošije opstrujavane kabine povećava se pritisak u tačkama njene čeone ploče, i istovremeno se smanjuje oblast natpritisaka i potpritisaka na prednjem delu karoserije (v. sl. 2.17.11.5b).

Raspodela pritiska duž podužne ose automobila omogućava da se proračuna, odnosno proceni aerodinamički otpor i uzgonska sila. Raspodela statickog pritiska u ravni simetrije površi sportskog automobila omogućuje konstruktoru i izbor optimalnih mesta za postavljanje dovodnih i odvodnih otvora za struju vazduha i rešavanje problema ventilacije u vozilu (v.sl. 2.17.11.6).



Slika 2.17.11.6.



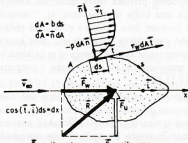
Slika 2.17.11.7.

Na slici 2.17.11.7 prikazana je raspodela pritiska u ravni simetrije na površi jedne prikolice, koja se opstrujuje pod uglom $\beta = 10^\circ$. Sa "1" je označena proračunska kriva, a "2" predstavlja skup eksperimentalno odredjenih tačaka. Brojevi od 1 do 65 označavaju davače pritiska. Slika pokazuje da odstupanje proračunskih vrednosti od eksperimentalnih nastaje uglavnom na delu koji odgovara površini krova. Pomoću raspodеле pritiska, tj. koeficijenta c_p u horizontalnim ravnima i poprečnim preseцима zaključuje se o odvajanju struje i veličini otpora pritiska. Dalja analiza, međutim, prevaziđa namenu i okvire ove knjige.

2.17.12. Dejstvo viskozne tečnosti na opstrujavano telo. Sila otpora kretanja tela

U primerima 2.17.2., 7., 9.-11. razmatrana je fizikalnost mehanizma nastajanja sile otpora pri opstrujavanju tela viskoznim fluidom. Na osnovu opštег naponskog stanja (v. problem 2.12.7. i sl. 2.12.7a,b) i relacija (2.12.1-4, 14, 17) za vektor napona odrediti ukupnu силу којом viskozna tečnost deluje na opstrujavano telo.

REŠENJE: Sila otpora \vec{F}_w deluje na telo u pravcu brzine neporemećenog strujanja \vec{v}_∞ , odnosno u pravcu kretanja tela (v.sl. 2.17.12). Za slučaj dozvučnog strujanja fluida sila otpora se sastoji od sile, tj. otpora trenja \vec{F}_T i otpora pritiska \vec{F}_p . Sila uzgona \vec{F}_u upravna je na pravac brzine \vec{v}_∞ , tj. na pravac kretanja tela. Rezultujuća sila pritiska nije jednaka nuli kao

Slika 2.17.12. \vec{F}_w -sila otpora \vec{F}_u -sila uzgona

b) Rastavljanjem kompleksnog potencijala

$$w(z) = \ln(z + 1 - i)(z - 1 + i)$$

na realni i imaginarni deo pomoću relacija $z + 1 - i = r_1 e^{i\theta_1}$ i $z - 1 + i = r_2 e^{i\theta_2}$, gde su $\theta_1 = \arctg[(y-1)/(x+1)]$ i $\theta_2 = \arctg[(y+1)/(x-1)]$, dobija se strujna funkcija u obliku

$$\psi(x, y) = \arctg \frac{y-1}{x+1} + \arctg \frac{y+1}{x-1} = \arctg \frac{2(1+xy)}{x^2-y^2}.$$

Strujnice $\psi = C$ su hiperbole $(x^2 - y^2) \operatorname{tg} C - 2xy - 2 = 0$, koje prolaze kroz tačke z_1 i z_2 u kojima su izvori smešteni. Nulta strujnica $\psi = 0$ odredena je jednačinom $y = -1/x$. Strujna slika 13.25 odgovara sl. 13.18, samo su izvori različito razmešteni. Protok i cirkulacija duž konture datog kruga, koji obuhvata samo jedan izvor, iznose $\hat{V} = e = 2\pi$ i $\Gamma = 0$.

c) Posle logaritmovanja funkcije preslikavanja i iskorisćenja uslova $w(z) = W(Z)$ i $(dW/dZ)_{Z=0} = 0$ sledi izraz za kompleksni potencijal

$$W(Z) = \frac{1}{2}(1-i)Z + \frac{1+i}{Z-(1+i)}$$

iz čieg oblika se zaključuje da je preslikano strujanje aciklično strujanje oko cilindra. Jednolika struja ima komponente brzine $V_{\infty, X} = V_{\infty, Y} = 1/2$ tj. ima pravac ose dvopola smeštenog u tački $Z = 1 + i$. Slika strujanja, uključujući i smer strujnica, odgovara slici 13.9b, pri čemu su nagibi ose dvopola, položaji tačaka u kojima su dvopoli smešteni kao i poluprečnici cilindara tj. položaji zadnjih zaustavnih tačaka u ova dva analognog strujanja različiti.

- 13.26. U strujno polje osamljenog izvora izdašnosti e smeštenog u tački $z = -a$, gde je $a > 0$, postavljen je kružni cilindar čija je kontura u kompleksnoj ravni z odredena jednačinom $x^2 + y^2 = R^2$ sa $R < a$, a osa upravna na ravan strujanja.
- Odrediti kompleksni potencijal $w(z)$ zadatog strujanja,
 - Naći strujnu funkciju $\psi(x, y)$, nultu strujnicu, zaustavne tačke i skicirati strujnu sliku sa smerom strujnica,
 - Kako glasi funkcija preslikavanja $Z = Z(z)$ kojom se zadato strujanje preslikava u strujno polje dva ponora jednakih izdašnosti e , smeštenih u tačkama $Z = -1$ i $Z = 1$ kompleksne ravni Z .

Rešenje:

- a) Kompleksni potencijal strujanja u polju osamljenog izvora glasi $w_1(z) = \frac{e}{2\pi} \ln(z+a)$ pa je zadato strujanje određeno kompleksnim potencijalom u obliku

$$w(z) = w_1(z) + g(z) = \frac{e}{2\pi} \ln(z+a) + g(z), \quad (1)$$

gde je $g(z)$ regularna analitička funkcija izvan kruga $|z| \leq R$. Krug $|z| = R$ po uslovu zadatka mora da bude strujnica tj. strujna funkcija ψ je u tačkama kruga jednaka nekoj konstanti za koju, bez ograničenja opštosti, može da se prepostavi da je jednaka nuli na osnovu čega sledi

$$\psi = [w(z) - \overline{w(z)}]/2i = 0 \quad \text{tj.} \quad w(z) - \overline{w(z)} = 0, \quad \text{za } |z| = R,$$

Ovaj uslov posredstvom (1) može da se napiše u obliku

$$\left[\frac{\epsilon}{2\pi} \ln(z+a) - \overline{g(z)} \right] - \left[\frac{\epsilon}{2\pi} \ln(\bar{z}+a) - g(z) \right] = 0, \text{ za } |z| = R.$$

Kako u tačkama konture važi relacija $z \cdot \bar{z} = R^2$ to se dobija

$$\left[\frac{\epsilon}{2\pi} \ln\left(\frac{R^2}{z} + a\right) - \overline{g(z)} \right] - \left[\frac{\epsilon}{2\pi} \ln\left(\frac{R^2}{z} + a\right) - g(z) \right] = 0.$$

Odavde sleduje da je na konturi zadovoljen uslov

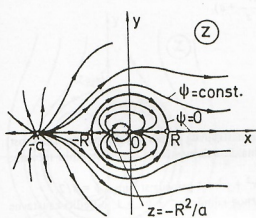
$$\frac{\epsilon}{2\pi} \ln\left(\frac{R^2}{z} + a\right) - g(z) = 0$$

iz kojeg, saglasno teoremi jedinstvenosti analitičkih funkcija, sledi

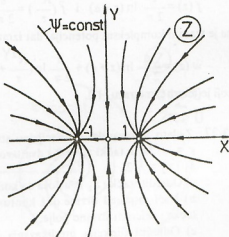
$$g(z) = \frac{\epsilon}{2\pi} \ln(z + R^2/a) - \frac{\epsilon}{2\pi} \ln z + \frac{\epsilon}{2\pi} \ln a, \text{ za } |z| \geq R.$$

Kompleksni potencijal (1) za zadato strujanje glasi

$$w(z) = \frac{\epsilon}{2\pi} \ln \frac{(z+a)(z+R^2/a)}{z} + \frac{\epsilon}{2\pi} \ln a. \quad (1')$$



Slika 13.26a



Slika 13.26b

Iz izraza (1') proističe da opstrujavanje kružnog cilindra izvorom nastaje kada se strujanju u polju datog izvora superponiraju strjuna polja izvora i ponora jednakih izdašnosti smeštenih u tačkama $z = -R^2/a$ i $z = 0$.

b) Strjuna funkcija određena je izrazom $\psi = \frac{\epsilon}{2\pi} (\theta_3 + \theta_2 - \theta_1)$ koji, posredstvom $\theta_1 = \arctg(y/x)$, $\theta_2 = \arctg[y/(x+R^2/a)]$ i $\theta_3 = \arctg[y/(x+a)]$, glasi

$$\psi(x, y) = \frac{\epsilon}{2\pi} \arctg \frac{y(x^2 + y^2 - R^2)}{(x+R^2/a)(x^2 + ax + y^2) + ay^2}.$$

Nulta strujnica $\psi = 0$ definisana je jednačinama $y = 0$ i $x^2 + y^2 = R^2$, dok su zaustavne tačke s obzirom na uslov

$$\frac{dw}{dz} = \frac{\epsilon}{2\pi} \frac{z^2 - R^2}{z(z+a)(z+R^2/a)} = 0$$

date sa $z = \pm R$. Na osnovu ove analize strujno polje je prikazano na slici 13.26a.

c) Strujanje u ravni Z definisano je kompleksnim potencijalom

$$W(Z) = -\frac{\epsilon}{2\pi} \ln(Z+1)(Z-1). \quad (2)$$

Iz izraza (1') i (2) posredstvom (13.19) dobija se tražena funkcija preslikavanja koja može da se napiše u obliku

$$\frac{z}{a(z+a)} = (Z^2 - 1) \left(z + \frac{R^2}{a} \right).$$

Preslikano strujanje prikazuje sl. 13.26b.

Napominje se da se ovaj problem jednostavno rešava primenom Milne-Thomson-ove teoreme (13.22). U ovom slučaju opstupljavanja cilindra izvorom su

$$f(z) = \frac{\epsilon}{2\pi} \ln(z+a) \quad \text{i} \quad \bar{f}\left(\frac{R^2}{z}\right) = \frac{\epsilon}{2\pi} \ln\left(\frac{R^2}{z} + a\right)$$

pa je traženi kompleksni potencijal dat izrazom

$$w(z) = \frac{\epsilon}{2\pi} \ln(z+a) + \frac{\epsilon}{2\pi} \ln\left(\frac{R^2}{z} + a\right),$$

koji je identičan izrazu (1').

13.27. Zadato je ravansko potencijalno strujanje nestišljivog fluida u polju ponora izdašnosti $\epsilon = -2\pi$ u tački $z_0 = 0$ i dva izvora jednakih izdašnosti $\epsilon = 2\pi$ smeštenih u tačkama z_1 i $z_2 = -2i$.

- Odrediti tačku z_1 iz uslova da kontura $x^2 + y^2 = 1$ pripada strujnici $\psi = \pi/2$.
- Naći raspored brzine duž konture kružnog cilindra $x^2 + y^2 = 1$, odrediti zaustavne tačke i skicirati strujno polje, i
- Odrediti funkciju preslikavanja $Z = Z(z)$ tako da se u kompleksnoj ravni Z dobiye strujanje u polju izvora izdašnosti $\epsilon = 2\pi$ i vrtloga cirkulacije $\Gamma = 2\pi$ smeštenih u istoj tački $Z_0 = 1 + i$. Skicirati strujnu sliku.

Rešenje:

a) Kompleksni potencijal zbirnog strujanja, posredstvom tabele 13.1, ima oblik

$$w(z) = \ln \frac{(z+2i)(z-z_1)}{z} = \ln \frac{r_1 r_2}{r_3} + i(\theta_1 + \theta_2 - \theta_3), \quad (1)$$

gde su $z+2i = r_1 e^{i\theta_1}$, $z-z_1 = r_2 e^{i\theta_2}$ i $z = r_3 e^{i\theta_3}$, odnosno $\theta_1 = \arctg[(y+2)/x]$, $\theta_2 = \arctg[(y-y_1)/(x-x_1)]$ i $\theta_3 = \arctg(y/x)$, pa izraz za strujnu funkciju glasi

$$\psi(x, y) = \arctg \frac{y^3 + yx^2 + (2 - y_1)(x^2 + y^2) - 2(x_1 x + y_1 y)}{x^3 + xy^2 - x_1(x^2 + y^2) + 2(y_1 x - x_1 y)}.$$

Iz uslova da na konturi $x^2 + y^2 = 1$ strujna funkcija ima vrednost $\pi/2$ sleduju vrednosti $x_1 = 0$ i $y_1 = -1/2$ tj. $z_1 = -i/2$, tako da strujna funkcija dobija oblik

$$\psi(x, y) = \arctg \frac{y + (y + 5/2)(x^2 + y^2)}{x(x^2 + y^2 - 1)},$$

iz koga se zaključuje da osa y i krug $x^2 + y^2 = 1$ predstavljaju strujnicu $\psi = \pi/2$.

b) Kompleksna brzina definisana je izrazom

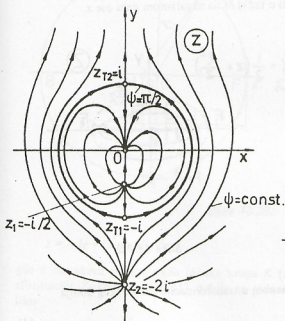
$$dw/dz = (1 + z^2)/(z^3 + \frac{5}{2}iz^2 - z),$$

pa njena vrednost u tačkama kruga $z = e^{i\theta}$ iznosi

$$\left| \frac{dw}{dz} \right|_{z=e^{i\theta}} = -\frac{4 \cos \theta}{4 \sin \theta + 5} e^{i(\frac{\pi}{2} - \theta)}.$$

Traženi raspored brzine duž zadate konture glasi

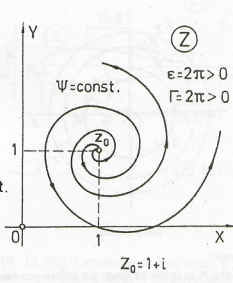
$$|\tilde{v}| = \left| \left(\frac{dw}{dz} \right)_{z=e^{i\theta}} \right| = \frac{4 \cos \theta}{4 \sin \theta + 5}.$$



Slika 13.27a

Zaušavne tačke su $z_{T1}, z_{T2} = \pm i$. Na osnovu ovoga skicirano je strujno polje na slici 13.27a, koja prikazuje strujanje oko knužnog cilindra postavljenog u polje izvora (v. zad. 13.26).

c) Kako je strujno polje vrtložnog vlakna združenog sa izvorom opisano kompleksnim potencijalom



Slika 13.27b

$$W(Z) = (1-i) \ln(Z - 1 - i), \quad (2)$$

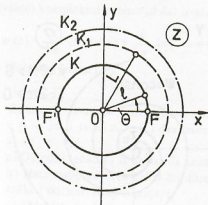
to se posredstvom (1) i (13.19) dobija funkcija preslikavanja u obliku

$$Z = \left| \frac{(z+2i)(z+i/2)}{z} \right|^{1/(1-i)} + 1 + i.$$

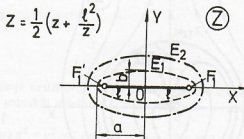
Razlaganjem funkcije (2) dobija se $\Psi = \theta - \ln r$ odnosno $r = C_1 e^\theta$ sa $C_1 = e^{-\Psi}$, odakle se zaključuje da su strujnice logaritamske spirale prikazane na sl. 13.27b. Znak za i i Γ odreduje smer strujnica.

13.28. Proučavanje strujanja oko kontura proizvoljnog oblika, naprimjer, eliptičkog cilindra, ravne ploče ili profila Žukovskog moguće je, kako je poznato, svesti na istraživanje odgovarajućih ravanskih strujanja oko kružnog cilindra postavljenog u strujno polje jednolike struje, izvora, ponora, vrtloga ili dvopola. U tom cilju potrebno je transformacijom Žukovskog $Z = (z + l^2/z)/2$ preslikati iz kompleksne ravni z u kompleksnu ravan Z .

- a) Krug poluprečnika l sa centrom u koordinatnom početku,
- b) Krug poluprečnika $l > i$ sa centrom u koordinatnom početku,
- c) Krug koji prolazi kroz tačku $F(l, 0)$ i poluprečnika $l_1 = l(1 + \epsilon)$, gde je ϵ mala pozitivna veličina, a centar mu se nalazi u tački M na negativnom delu ose x .



Slika 13.28a



Slika 13.28b

Rešenje:

a) Kako je za tačke na krugu $z = le^{i\theta}$ to se zamenom u transformaciju Žukovskog dobija

$$Z = \frac{l}{2} (e^{i\theta} + e^{-i\theta}) = l \cos \theta. \quad (1)$$

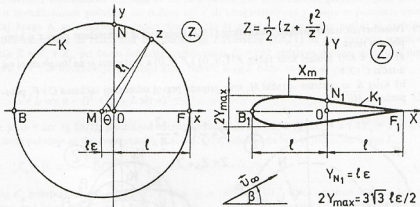
Odatle sledi da se centralni krug K poluprečnika l preslikava u duž $F'_1 F_1 = 2l$ na osi X (sl. 13.28a, b).

b) Zamenom relacije $z = Le^{i\theta}$ u izraz (13.21) sledi $2Z = Le^{i\theta} + l^2 e^{-i\theta}/L$ odnosno $2X = (L + l^2/L) \cos \theta$ i $2Y = (L - l^2/L) \sin \theta$. Posle eliminisanja parametra θ dobija se jednačina centralne elipse

$$\frac{x^2}{(L + l^2/L)^2/4} + \frac{y^2}{(L - l^2/L)^2/4} = 1 \quad (2)$$

sa poluosama $a = (L + l^2/L)/2$ i $b = (L - l^2/L)/2$, koje zadovoljavaju relaciju $a + b = L$ i $a^2 - b^2 = l^2$. Prema tome, koncentrični krugovi K_1, K_2, \dots poluprečnika većeg od l preslikavaju se u elipse E_1, E_2, \dots sa zajedničkim žižama F_1 i F'_1 .

c) Posredstvom prvog izvoda funkcije (13.21) $dZ/dz = (1 - l^2/z^2)/2$ vidi se da su tačke F i F' sa koordinatama $z = \pm l$ singularne tačke konformnog preslikavanja (13.21) u kojima konformno preslikavanje nije obezbedeno tj. uglu π u tim tačkama odgovara ugao 2π u tačkama F_1 i F'_1 ravni Z . Ako se u ravni z posmatraju krugovi ili druge zatvorene krive, koje prolaze kroz samo jednu singularnu tačku, onda zadatim preslikavanjem nastaju različiti teorijski aeroprofili. Kao primer takvih profila je simetrični aeroprofil Žukovskog, koji nastaje konformnim preslikavanjem (13.21) kruga K koji prolazi kroz tačku F i obuhvata drugu singularnu tačku F' (sl. 13.28c). Centar kruga K poluprečnika $l_1 = l(1 + \epsilon)$ nalazi se u tački M pomerenoj od koordinatnog početka O duž realne ose x za veličinu $l\epsilon$. U tom slučaju jednačina kruga K ima oblik



Slika 13.28c

$$z = -l\epsilon + (1 + \epsilon)l e^{i\theta},$$

gde θ označava polarni ugao tačaka kruga K (sl. 13.28c). Uvrštanjem ovog izraza u transformaciju Žukovskog (13.21) dobija se jednačina preslikanog kruga u parametarskom obliku

$$Z = \frac{1}{2} \left[-l\epsilon + (1 + \epsilon)l e^{i\theta} + \frac{l}{-l\epsilon + (1 + \epsilon)l e^{i\theta}} \right].$$

Posle razvijanja desne strane u stepeni red po ϵ i zadržavanja samo linearnih članova po ϵ , jer je po pretpostavci $\epsilon \ll 1$, dobija se

4. U tačkama $\pm i, 0$ - izvori i ponor: $(\pm i; 2\pi), (0; -4\pi)$; $C r^4 - 2r^2 \cos 2\varphi - 1 = 0$, ($C > -1$) - ekvipotencijalne linije (za $C=0$ - hiperbola $y^2 - x^2 = 1/2$), $r = \sqrt{C \sin 2\varphi - \cos 2\varphi}$ - strujnice (za $C=0$ - Bernulijeva leminiskata) kojima takođe pripadaju koordinatne ose.

Poљe brzine: $\tilde{v} = -2 / \left[z(z^4 + 1) \right]$, $\tilde{v}_\infty = 0$ (vsl. 17.17.4).

5. U tačkama $\pm(1 \pm i)/\sqrt{2}$ - izvori izdašnosti 2π , u tački $z=0$ - ponor izdašnosti -4π , u ∞ - ponor izdašnosti -4π ; $r^4 + 1/r^4 = C - 2 \cos 4\varphi$ ($C > 0$) - ekvipotencijalne linije (za $C < 4$ krive se raspadaju na četiri komponente, pri $C > 4$ - na dve; pri većim vrednostima C dobijaju se gotovo kružnice $r = C^{1/4}$ i $r = C^{-1/4}$); $\operatorname{tg} 2\varphi = C(r^4 - 1)/(r^4 + 1)$ - familija strujnica kojima pripadaju takođe koordinatne ose, simetrale kvadrantata i kružnica $r=1$. Brzine su $\tilde{v} = 2 \left[(z^4 - 1) / [z(z^4 + 1)] \right]$, $\tilde{v}_\infty = 0$. Tačke ± 1 i $\pm i$ su zaustavne tačke.

17.18. Primena principa simetrije, tj. metode lika pri formiranju različitih klasa strujanja.

Princip simetrije se, zajedno sa konformnim preslikavanjem, kako je to pokazano u Odeljcima 16. i 17., obilato i uspešno koristi pri proučavanju raznovrsnih strujanja. U ovom problemu potrebno je primenom metode lika formirati strujanja na osnovu zadatih singulariteta, pri čemu je u beskonačnosti i u ugaonim tačkama (temenima uglova pri strujanju u uglovima) brzina jednaka nuli.

1. Definisati strujanje u prvom kvadrantu $\operatorname{Re} z > 0, \operatorname{Im} z > 0$ u polju izvora $(1; \dot{V})$.
2. Odrediti strujno polje u oblasti $|z| > 1, \operatorname{Im} z > 0$ sa vrtlogom $(ia; \Gamma)$, gde je $a > 0$.
3. Formirati kompleksni potencijal za strujanje u uglu $0 < \arg z < \pi/3$ za slučaj izvora $(ae^{i\pi/6}; \dot{V})$, pri $a > 0$.
4. Odrediti strujanje u prvom kvadrantu $\operatorname{Re} z > 0, \operatorname{Im} z > 0$ za slučaj: a) izvora $(1; \dot{V})$ i ponora $(i; -\dot{V})$; b) izvora $(1+i; \dot{V})$ i ponora $(0; -\dot{V})$.

Rešenje:

Primenom izvedenih teorema o pravoj i kružnici (v. izraze (17.8) i (17.14) dobijaju se sledeća rešenja:

1. $w(z) = (\dot{V}/2\pi) \ln(z^2 - 1) + C$, gde je C konstanta.

2. $w(z) = \frac{\Gamma}{2\pi i} \ln \frac{(z-ia)(az+i)}{(z+ia)(az-i)} + C$.

3. $w(z) = \frac{\dot{V}}{2\pi} \ln(z^6 + a^6) + C$.

4. a) $w(z) = \frac{\dot{V}}{2\pi} \ln \frac{z^2 - 1}{z^2 + 1} + C$.

- b) $w(z) = \frac{\dot{V}}{2\pi} \ln \left(1 + \frac{4}{z_4} \right) + C$.

17.19. Metoda lika i konformno preslikavanje.

U jednostruko povezanoj oblasti D ograničenoj konturom L odrediti strujanje u polju vrtložnih vlakana združenih sa izvorima $\{(a_k; \dot{V}_k; \Gamma_k)\}$, $k = 1, 2, \dots, n$, pri čemu čvrsta nepropusna kontura L predstavlja strujnicu. Da li je takvo strujanje uvek moguće?

Rešenje:

Neka funkcija $Z = f(z)$ konformno preslikava domen D u domen jediničnog kruga $|Z| < 1$. Tada je $w = W[f(z)]$, gde su

$$W(Z) = \sum_{k=1}^n \left[\frac{\Gamma_k + i \dot{V}_k}{2\pi i} \ln(Z - Z_k) + \frac{-\Gamma_k + i \dot{V}_k}{2\pi i} \ln(1 - \overline{Z}_k Z) \right] + C,$$

i $Z_k = f(a_k)$, pri nepromjenjenom uslovu $\sum_{k=1}^n \dot{V}_k = 0$.

17.20. Preslikavanje kružnice Loranovim redom u aeroprofil.

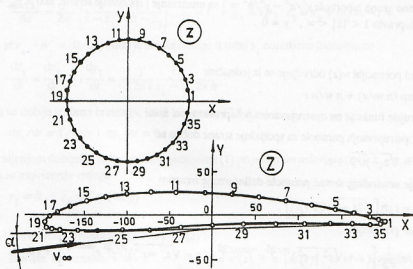
Kružnica jediničnog radijusa $r_0 = 1$ u ravni kompleksne promenljive $z = x + iy$ preslikava se u izvesnu konturu u ravni $Z = X + iY$ pomoću Loranovog reda

$$Z = az + a_1/z + a_2/z^2 + \dots \quad (1)$$

Nacrtati konturu profila u koju se preslikava kružnica $r_0 = 1$, ako se u beskonačnom redu (1) zadrže samo tri prva člana sa koeficijentima $a = 109,25 + 2,65i$; $a_1 = 90,32 - 2,65i$ i $a_2 = 4,34 - 7,75i$. Proračun obaviti birajući tačke na kružnici na svakih 10° .

Rešenje:

Kontura krila, tj. traženog profila prikazana je na slici 17.20. Odgovarajuće, korespondentne tačke obeležene su na kružnici i profilu.



Slika 17.20